

РЕШЁТКИ ФОРЭСТЕРА И МАЛЕНЬКИЕ НЕЛЕЙТОНОВЫ КОМПЛЕКСЫ

Наталия С. Дергачёва Антон А. Клячко

*Механико-математический факультет Московского государственного университета
Москва 119991, Ленинские горы, МГУ.*

*Московский центр фундаментальной и прикладной математики
nataliya.dergacheva@gmail.com klyachko@mech.math.msu.su*

Мы строим два конечных CW-комплекса, один из которых гомеоморфен комплексу с одной двумерной клеткой, так, что эти комплексы имеют общее накрытие, но не имеют общего конечного накрытия.

1. Введение

Теорема Лейтона [Lei82]. *Если два конечных графа имеют общее накрытие, то они имеют общее конечное накрытие.*

Альтернативные доказательства и различные обобщения этого результата можно найти, например, в [Neu10], [BaK90], [SGW19], [Woo21], [BrS21] и литературе там цитируемой.

Для двумерных CW-комплексов (и клеточных накрытий) аналогичное утверждение неверно:

- первый пример такой *нелейтоновой пары* комплексов (то есть пары конечных CW-комплексов, имеющих общее накрытие, но не имеющих общего конечного накрытия) содержал по шесть двумерных клеток в каждом комплексе ([Wis96] и [Wis07]);
- потом это число было понижено до четырёх [JaW09];
- потом — до двух [DK23].

Существует ли нелейтонова пара комплексов с одной двумерной клеткой (в каждом из двух комплексов, или хотя бы в одном) — неизвестно. Мы «почти отвечаем» на этот открытый вопрос из [DK23]:

существует нелейтонова пара комплексов (K, L) , в которой комплекс K гомеоморфен комплексу с одной двумерной клеткой.

Кроме этого, наш пример обладает ещё следующими экстремальными свойствами:

- комплекс \bar{K} с одной двумерной клеткой, гомеоморфный комплексу K , является стандартным комплексом копредставления $BS(2, 4) \xrightarrow{\text{опр}} \langle c, d \mid c^{2d} = c^4 \rangle$, и он (как нетрудно заметить) *лейтонов*, то есть не может входить ни в какую нелейтонову пару; а нелейтонов комплекс K получается из \bar{K} добавлением ребра, разделяющего двумерную клетку на две части; это первый (и неожиданный) пример ситуации, когда подразбиение клетки приводит к таким последствиям;
- комплекс K содержит две двумерные клетки (это минимум из известных примеров,смотрите выше; правда комплекс L в данном случае довольно большой, а в [DK23] (и в [DK24]) была построена нелейтонова пара, в которой оба комплекса содержали по две двумерные клетки);
- триангуляция даёт нелейтонову пару псевдосимпициальных комплексов (\hat{K}, \hat{L}) , в которой комплекс \hat{K} содержит пять двумерных клеток (треугольников); это опять минимум из известных примеров (но опять комплекс \hat{L} в данном случае получается немаленьkim, а в [DK24] была построена нелейтонова пара псевдосимпициальных комплексов, в которой оба комплекса содержали по пять двумерных клеток);
- наконец, фундаментальная группа комплекса K является группой с одним соотношением, а фундаментальная группа комплекса L соизмерима с группой с одним соотношением, то есть переходя к подходящему конечному накрытию комплекса L мы получаем следующий нетривиальный факт:

существует нелейтонова пара комплексов (K, \tilde{L}) , в которой $\pi_1(K)$ есть группа с одним соотношением, а $\pi_1(\tilde{L})$ — подгруппа конечного индекса в группе с одним соотношением. (1)

Напомним, что по теореме Брайдсона–Шеперда [BrS22] (в формулировке из [DK24])

в нелейтоновой паре фундаментальная группа ни одного из комплексов не может быть свободной (и даже почти свободной).

Следующий естественный вопрос остаётся открытым.

Работа выполнена при поддержке Российского научного фонда, грант № 22-11-00075.

Вопрос. Существует ли нелейтонова пара, в которой фундаментальные группы обоих комплексов являются группами с одним соотношением?

Факт (1) сам по себе не отвечает на этот вопрос: например, свободные произведения $(\mathbb{Z}/3\mathbb{Z}) * (\mathbb{Z}/3\mathbb{Z})$ и $(\mathbb{Z}/5\mathbb{Z}) * (\mathbb{Z}/5\mathbb{Z})$ не могут быть реализованы, как фундаментальные группы конечных комплексов, имеющих общее накрытие [MSW03], хотя их подгруппы конечного индекса могут — эти группы вообще соизмеримы.

По сути наш пример нелейтоновой пары (K, L) легко вытекает из рассуждений работы Форестера [Fo24]. Наш скромный вклад состоит лишь в том, что мы

- это заметили (Макс Форестер в [Fo24] вообще не интересовался минимальными нелейтоновыми парами)
- и написали явное, короткое и почти самодостаточное доказательство. «Почти самодостаточность» здесь означает, что мы используем, кроме стандартных фактов, лишь следующий частный случай классификации групп Баумслага–Солитэра с точностью до соизмеримости [CKZ21] (смотрите также [Fo24]):

группы Баумслага–Солитэра $\text{BS}(2, 4)$ и $\text{BS}(4, 16)$ *несоизмеримы* (то есть никакая подгруппа конечного индекса в первой группы не изоморфна никакой подгруппе конечного индекса во второй группе).

Обозначения, которые мы используем, в целом стандартны. Отметим только, что если $k \in \mathbb{Z}$, а x и y — элементы некоторой группы, то x^y , x^{ky} и x^{-y} обозначают $y^{-1}xy$, $y^{-1}x^ky$ и $y^{-1}x^{-1}y$, соответственно. Группы Баумслага–Солитэра — это $\text{BS}(n, m) \stackrel{\text{опр}}{=} \langle c, d \mid c^{nd} = c^m \rangle$.

Авторы благодарят Фонд развития теоретической физики и математики «БАЗИС».

2. Основная теорема

Рассмотрим следующие комплексы K и L .

Комплекс K — это стандартный (одновершинный) комплекс копредставления $\langle c, d, z \mid c^{-1}dc^2 = z = cdc^{-2} \rangle$ (в [Fo24] этот комплекс K обозначается $Z_{2,4}$). Понятно, что этот двуклеточный комплекс гомеоморфен одноклеточному: стандартному комплексу стандартного копредставления группы $\text{BS}(2, 4) \stackrel{\text{опр}}{=} \langle c, d \mid c^{2d} = c^4 \rangle$.

Комплекс L устроен так:

- две вершины: *чёрная* и *белая*;
- шесть рёбер:
 - рёбра c_\bullet и c_o суть петли при вершинах чёрной и белой вершинах, соответственно;
 - рёбра y и z ведут из чёрной вершины в белую
 - рёбра t и t_1 ведут из белой вершины в чёрную;
- четыре двумерные клетки A, B, C, D с границами $y^{-1}c_\bullet yc_o^{-2}$, $z^{-1}c_\bullet zc_o^{-2}$, $t_1^{-1}c_o tc_\bullet^{-2}$, $t^{-1}c_o t_1 c_\bullet^{-2}$ (рис. 1).

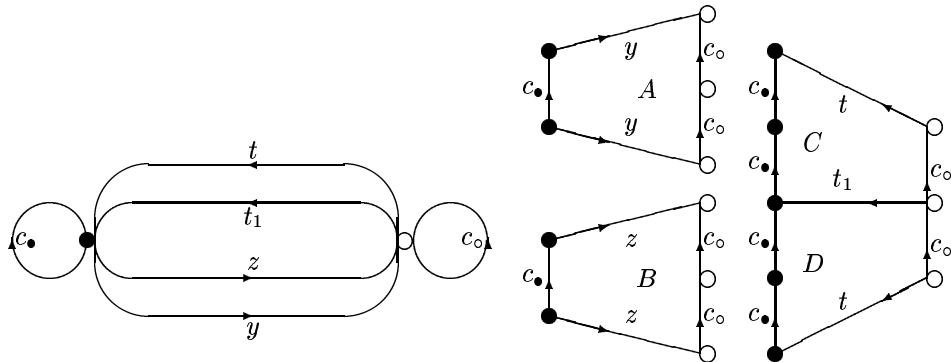


Рис. 1

(У Форестера [Fo24] этот комплекс никак не обозначается — в его обозначениях это факторкомплекс комплекса $X_{2,4}$ по действию группы G_2 .)

Теорема. Комплексы K и L образуют нелейтонову пару:

- их универсальные накрытия изоморфны
- а общего конечного накрытия нет.

При этом комплекс K , содержащий две двумерные клетки, гомеоморфен комплексу с одной двумерной клеткой (а комплекс L , содержащий четыре двумерные клетки, гомеоморфен комплексу с тремя двумерными клетками).

Следующие два параграфа составляют доказательство этой теоремы.

3. Почему у комплексов K и L нет общего конечного накрытия?

Потому что фундаментальные группы неизомеримы. Фундаментальная группа комплекса K — это, конечно же, $\text{BS}(2, 4)$. А фундаментальная группа комплекса L устроена так:

$$\pi_1(L) = \langle c_\bullet, c_\circ, y, z, t, t_1 \mid y^{-1}c_\bullet yc_\circ^{-2} = 1, z^{-1}c_\bullet zc_\circ^{-2} = 1, t^{-1}c_\circ t_1 c_\bullet^{-2} = 1, t_1^{-1}c_\circ tc_\bullet^{-2} = 1, z = 1 \rangle.$$

Очевидные упрощения (преобразования Тицे) дают следующее копредставление:

$$\pi_1(L) = \langle c_\circ, y, t \mid [y, c_\circ^2] = 1, c_\circ^{2t} = c_\circ^8 \rangle.$$

Ядро H гомоморфизма из $\pi_1(L)$ в $\mathbb{Z}_2 \xrightarrow{\text{опр}} \mathbb{Z}/2\mathbb{Z}$, переводящего c_\circ в единицу, а y и t в ноль, имеет индекс два в $\pi_1(L)$ и задаётся копредставлением

$$H = \left\langle q, y, t, \hat{y}, \hat{t} \mid q^y = q^t = q^{\hat{y}} = q^{\hat{t}} = q^4 \right\rangle \quad (\text{где } q = c_\circ^2, \hat{y} = y^{c_\circ} \text{ и } \hat{t} = t^{c_\circ}),$$

из которого очевидными преобразованиями Тице получаем

$$H = \left\langle q, y, x_1, x_2, x_3 \mid q^y = q^4, [q, x_1] = [q, x_2] = [q, x_3] = 1 \right\rangle \quad (\text{где } x_1 = yt^{-1}, x_2 = y\hat{y}^{-1} \text{ и } x_3 = y\hat{t}^{-1}). \quad (*)$$

А ядро \tilde{H} гомоморфизма из $\text{BS}(4, 16) = \langle a, b \mid a^{4b} = a^{16} \rangle$ в \mathbb{Z}_4 , переводящего a в один, а b в ноль, имеет индекс четыре в $\text{BS}(4, 16)$ и задаётся копредставлением

$$\tilde{H} = \left\langle q, b, b', b'', b''' \mid q^b = q^{b'} = q^{b''} = q^{b'''} = q^4 \right\rangle \quad (\text{где } q = a^4, b' = b^a, b'' = b^{a^2} \text{ и } b''' = b^{a^3}),$$

из которого очевидными преобразованиями Тице получаем

$$\tilde{H} = \left\langle q, b, x_1, x_2, x_3 \mid q^b = q^4, [q, x_1] = [q, x_2] = [q, x_3] = 1 \right\rangle \quad (\text{где } x_1 = b(b')^{-1}, x_2 = b(b'')^{-1} \text{ и } x_3 = b(b''')^{-1}). \quad (**)$$

Сравнивая (*) и (**), мы убеждаемся, что $H \simeq \tilde{H}$, то есть $\pi_1(L)$ соизмерима с группой $\text{BS}(4, 16)$, которая не соизмерима с $\text{BS}(2, 4) = \pi_1(K)$ [CKZ21] (смотрите также [Fo24]). Так что, общего конечного накрытия у комплексов K и L быть не может (поскольку, как известно, фундаментальная группа конечного накрытия комплекса изоморфна подгруппе конечного индекса фундаментальной группы этого комплекса).

4. Почему универсальные накрытия комплексов K и L изоморфны?

Для обоих комплексов универсальным накрытием служит комплекс Баумслага–Солитэра $X_{2,4}$ из [Fo24], который устроен следующим образом.

Рассмотрим регулярное ориентированное дерево T , в котором из каждой вершины выходят два ребра, а входят четыре ребра в каждую вершину. Припишем каждому ребру e числа $\gamma(e), \delta(e) \in \{0, 1\}$ так, чтобы

- в каждую вершину входили рёбра со всеми четырьмя значениями пары $(\gamma(e), \delta(e))$
- и из каждой вершины выходили рёбра с обоими значениями $\gamma(e)$ и с обоими значениями $\delta(e)$.

Комплекс Баумслага–Солитэра $X_{2,4}$ гомеоморден декартовому произведению $T \times \mathbb{R}$, а разбиение на клетки устроено так:

- множество вершин такое: $V(X_{2,4}) = \{v_i \mid v \in V(T), i \in \mathbb{Z}\};$
- множество (ориентированных) рёбер такое:
 - есть рёбра $\varepsilon_{v,i}$ (где $v \in V(T)$ и $i \in \mathbb{Z}$), ведущие из вершины v_i в вершину v_{i+1} ;
 - и есть ещё рёбра e_i (где $e \in E(T)$ и $i \in \mathbb{Z}$), ведущие из вершины v_i в вершину $w_{2i+\gamma(e)}$, где v и w — это начало и конец ребра e , соответственно;
- двумерные клетки $D_{e,i}$ приклеены по циклам вида $e_i^{-1}\varepsilon_{v,i}e_{i+1}\varepsilon_{w,2i+1+\gamma(e)}^{-1}\varepsilon_{w,2i+\gamma(e)}^{-1}$, где $e \in E(T)$, $i \in \mathbb{Z}$, а v и w — это начало и конец ребра e , соответственно (рисунок 2).

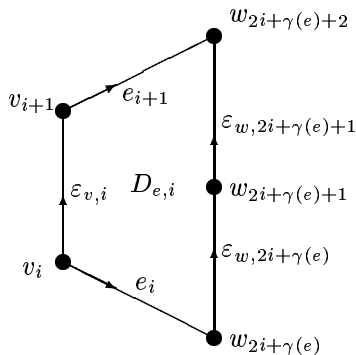


Рис. 2

Накрытие $X_{2,4} \rightarrow K$ выглядит естественным образом:

- все вершины переходят в единственную вершину комплекса K ;
- а на рёбрах отображение действует так: $\varepsilon_{v,i} \mapsto c$; $e_i \mapsto \begin{cases} d, & \text{если } i \text{ чётно,} \\ z, & \text{если } i \text{ нечётно;} \end{cases}$
- при этом двумерная клетка $D_{e,i}$ переходит в одну из двух двумерных клеток комплекса K в зависимости от чётности числа i .

А накрытие $X_{2,4} \rightarrow L$ устроено так:

- все вершины дерева T покрасим в чёрный и белый цвет так, чтобы рёбра соединяли вершины разных цветов; и скажем, что накрытие переводит вершину v_i в соответствии с цветом вершины v ;
- а на рёбрах накрытие действует так:

$$\varepsilon_{u,i} \mapsto \begin{cases} c_\bullet, & \text{если вершина } u \text{ чёрная,} \\ c_o, & \text{если вершина } u \text{ белая,} \end{cases} \text{ и } e_i \mapsto \begin{cases} y, & \text{если начало ребра } e \text{ чёрное и } \delta(e) = 0, \\ z, & \text{если начало ребра } e \text{ чёрное и } \delta(e) = 1, \\ t, & \text{если начало ребра } e \text{ белое и } i + \delta(e) \text{ чётно,} \\ t_1, & \text{если начало ребра } e \text{ белое и } i + \delta(e) \text{ нечётно,} \end{cases}$$

(на рисунке 3 $p, p', v, v', w, w', u, u'$ — вершины дерева T , а пары чисел обозначают $(\gamma(e), \delta(e))$ для соответствующего ребра дерева T);

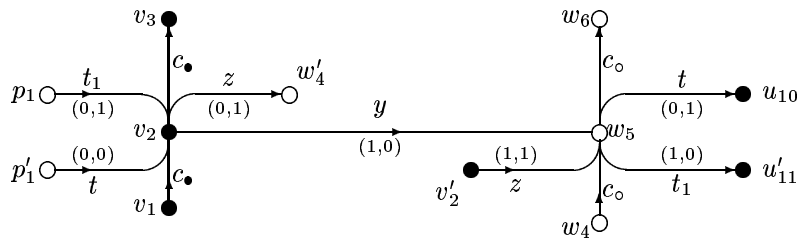


Рис. 3

- при этом двумерная клетка $D_{e,i}$ отображается в $\begin{cases} A, & \text{если начало ребра } e \text{ чёрное и } \delta(e) = 0, \\ B, & \text{если начало ребра } e \text{ чёрное и } \delta(e) = 1, \\ C, & \text{если начало ребра } e \text{ белое и } i \text{ чётно,} \\ D, & \text{если начало ребра } e \text{ белое и } i \text{ нечётно.} \end{cases}$

Это завершает доказательство теоремы.

СПИСОК ЦИТИРОВАННОЙ ЛИТЕРАТУРЫ

- [BaK90] H. Bass, R. Kulkarni, Uniform tree lattices, J. Amer. Math. Soc., 3:4 (1990), 843-902.
- [BrS22] M. Bridson, S. Shepherd, Leighton's theorem: extensions, limitations, and quasitrees, Algebraic and Geometric Topology, 22:2 (2022), 881-917. См. также arXiv:2009.04305..
- [CKZ21] M. Casals-Ruiz, I. Kazachkov, A. Zakharov, Commensurability of Baumslag-Solitar groups, Indiana Univ. Math. J., 70:6 (2021), 2527-2555. См. также arXiv:1910.02117.
- [DK23] N. S. Dergacheva, A. A. Klyachko, Small non-Leighton two-complexes, Math. Proc. Cambridge Philos. Soc., 174:2 (2023), 385-391. См. также arXiv:2108.01398.
- [DK24] N. S. Dergacheva, A. A. Klyachko, Tiny non-Leighton complexes, arXiv:2403.09803.
- [Fo24] M. Forester, Incommensurable lattices in Baumslag-Solitar complexes, J. London Math. Soc., 109:3 (2024), e12879. См. также arXiv:2207.14703.
- [JaW09] D. Janzen, D. T. Wise, A smallest irreducible lattice in the product of trees, Algebraic and Geometric Topology, 9:4 (2009), 2191-2201.
- [Lei82] F. T. Leighton, Finite common coverings of graphs, J. Combin. Theory, Series B, 33:3 (1982), 231-238.
- [MSW03] L. Mosher, M. Sageev, K. Whyte, Quasi-actions on trees I. Bounded valence, Annals of Mathematics 158:1 (2003), 115-164. См. также arXiv:math/0010136.
- [Neu10] W. D. Neumann, On Leighton's graph covering theorem, Groups, Geometry, and Dynamics, 4:4 (2010), 863-872. См. также arXiv:0906.2496.
- [SGW19] S. Shepherd, G. Gardam, D. J. Woodhouse, Two generalisations of Leighton's Theorem, arXiv:1908.00830.
- [Wis96] D. T. Wise, Non-positively curved squared complexes: Aperiodic tilings and non-residually finite groups. PhD Thesis, Princeton University, 1996.
- [Wis07] D. T. Wise, Complete square complexes, Commentarii Mathematici Helvetici, 82:4 (2007), 683-724.
- [Woo21] D. Woodhouse, Revisiting Leighton's theorem with the Haar measure, Math. Proc. Cambridge Philos. Soc., 170:3 (2021), 615-623. См. также arXiv:1806.08196.